

## مکانیابی برقگیر در مزرعه بادی به کمک الگوریتم ژنتیک

سید مسعود مرتضایی نژاد<sup>۱\*</sup>، احمد غلامی<sup>۲</sup>

<sup>۱</sup> کارشناسی ارشد دانشکده مهندسی برق، دانشگاه علم و صنعت ایران، تهران، ایران

M\_mortezaie@elec.iust.ac.ir

<sup>۲</sup> دانشیار دانشکده مهندسی برق، دانشگاه علم و صنعت ایران، تهران، ایران

Gholami@iust.ac.ir

**چکیده:** با توجه به رشد استفاده از منابع تولید پراکنده و نگاه ویژه‌ای که به نیروگاه‌های بادی در چند سال اخیر شده است، این تحقیق به بحث حفاظتی این نیروگاه‌ها در برابر صاعقه می‌پردازد. ژنراتورهای توربین بادی، بیشتر از همه انواع ژنراتورهای متصل به سیستم‌های برق در محیط‌های صاعقه‌خیز قرار دارند. آسیب‌های ناشی از برخورد صاعقه عمدهاً به دو دسته آسیب‌های مستقیم و غیرمستقیم تقسیم می‌شوند. در این مقاله، به راهکارهای کاهش آسیب‌های غیرمستقیم به توربین پرداخته خواهد شد. مدل‌سازی اجزای توربین که شامل پره، برج و کابل‌های اتصالی می‌باشد، به صورت مدل وابسته به فرکانس است. برای کاهش اضافه ولتاژهای ناشی از جریان صاعقه در مزرعه بادی، از برقگیر بهره گرفته شده است. مکانیابی برقگیرها در مزرعه بادی با توجه به تابع هدفی که شامل قیود ریسک عایقی و خرابی برقگیر است، محاسبه می‌شود و ضرایب وزنی برای تجهیزات مورد تنش عایقی در نظر گرفته شده است. فرایند بهینه‌سازی با الگوریتم ژنتیک صورت گرفته و در نهایت، به تحلیل نتایج شبیه‌سازی پرداخته شده است.

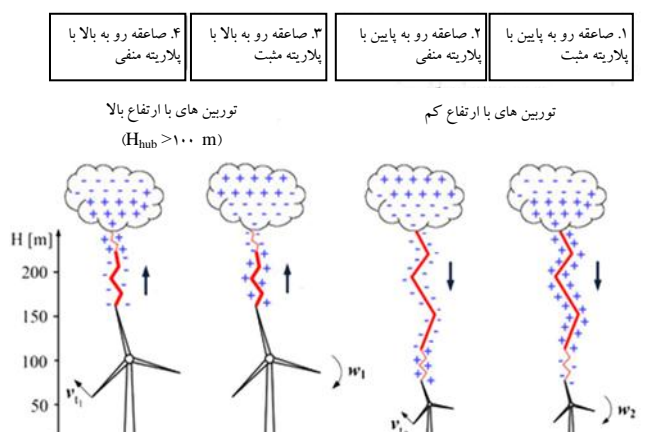
**واژه‌های کلیدی:** اضافه ولتاژ، برقگیر، صاعقه، مزرعه بادی.

\* نویسنده مسئول

## ۲. تخمین انتشار صاعقه

افزایش میدان باعث انتقال بارها از بخش‌های فلزی پره توربین می‌شود که شامل بارهای مثبت در نوک پره (در اکثر موارد) و حرکت بارهای منفی به زمین از طریق رساناهای پایین رونده است. سرعت نوعی برای جابه‌جایی بارها ( $m.s^{-1} \sim 2 \times 10^8$ ) در مقایسه با سرعت شکل‌گیری صاعقه ( $m.s^{-1} \sim 10^6$ ) خیلی بیشتر است [۱۰]. حداکثر سرعت باد برای چرخش پره‌های توربین نصب شده در داخل دریا  $s^{-1} = 90 m.s^{-1}$  برای توربین‌های نصب شده در خشکی  $s^{-1} = 80 m.s^{-1}$  است. شکل‌گیری صاعقه با حرکت چرخشی توربین ارتباطی ندارد، اما موقعی که صاعقه شکل گرفت، در یک بازه زمانی یک ثانیه این موضوع متفاوت می‌شود و چرخش پره‌های توربین بسیار اهمیت پیدا می‌کند [۳].

در تشکیل صاعقه رو به بالا که برای توربین‌های بلند مطرح است، محل نصب توربین بیشترین اهمیت را دارد. برای انتشار صاعقه رو به بالا میدان الکتریکی در اطراف توربین تقریباً یکنواخت است که با بارور شدن ابرها و تخلیه الکتریکی اجزای توربین انتشار می‌کند. برای انتشار صاعقه رو به پایین یک میدان غیریکنواخت در اطراف توربین به وجود می‌آید که اجزای توربین می‌توانند این انتشار را با شکل‌گیری صاعقه‌ای رو به بالا تشدید کنند [۱۱].



شکل (۱): شکل‌های مختلف پیدایش صاعقه [۳]

از نظر پلاریته صاعقه هم می‌توان این موضوع را به دو دسته پلاریته منفی و مثبت تقسیم کرد. به طور کلی، تقسیم‌بندی صاعقه برای توربین‌های بادی را می‌توان به چهار قسم تقسیم کرد که در شکل (۱) نشان داده شده است.

انتشار صاعقه رو به بالا و رو به پایین در توربین‌های بلند با استفاده از روابط (۱) و (۲) محاسبه می‌شود [۳]:

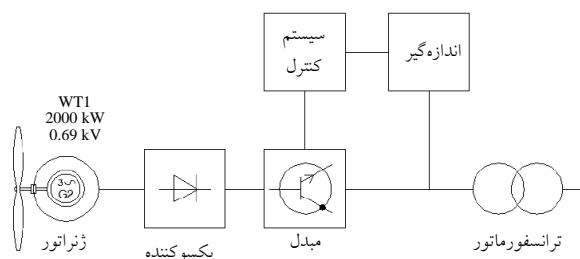
## ۱. مقدمه

با توجه به افزایش توان توربین‌های بادی، ارتفاع آن‌ها نیز به طور روزافزون افزایش می‌یابد. هر چقدر قدرت توربین بادی افزایش یابد به تناسب ارتفاع توربین نیز افزایش می‌یابد، در نتیجه مقابل برخورد صاعقه آسیب‌پذیرتر خواهد بود. توربین‌های بادی معمولاً در ارتفاعات بالا و در سایت‌های ایزوله شده و همچنین در مکان‌های مسطح نصب شده و همچنین گزارشات زیادی از برخورد مستقیم صاعقه به توربین‌ها ارائه شده است. براساس گزارشات [۱۱]، احتمال برخورد صاعقه به توربین‌های نصب شده در کوهستان‌ها دو برابر توربین‌های نصب شده در مناطق مسطح یا مناطق ساحلی است. این وضعیت می‌تواند باعث به وجود آمدن مشکلات زیادی در نصب توربین بادی شود. تأثیر آن روی توربین شامل آسیب زدن به پره‌ها، اختلالات در سیستم‌های کترلی و آتش‌سوزی که منجر به تخریب کامل توربین بادی می‌شود، خواهد بود.

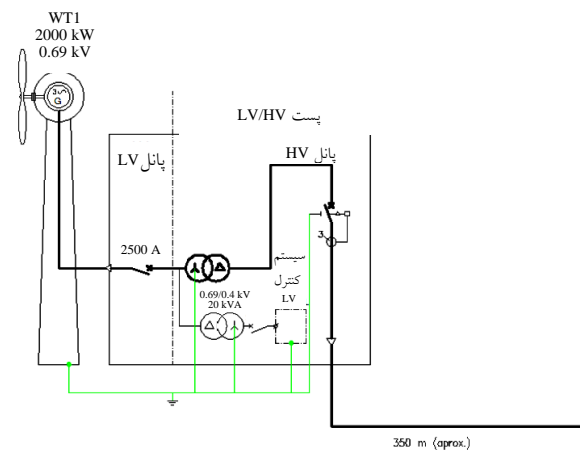
آسیب‌های ناشی از صاعقه می‌تواند به دو گروه مستقیم و غیرمستقیم تقسیم شود. آسیب‌های مستقیم در قطعاتی از توربین بادی رخ می‌دهد که جریان الکتریکی صاعقه را به زمین منتقل می‌کنند. همچنین ارتباط مقابل اجزای الکتریکی و میدان‌های شدید مغناطیسی در توربین موجب می‌شود که به نوعی آسیب‌دیدگی مستقیم منجر شود. آسیب‌دیدگی غیرمستقیم ناشی از برخورد صاعقه با اشیا یا زمین‌های مجاور توربین‌های بادی است. در این حالت، آسیب‌دیدگی ناشی از ارتباط القایی کابل‌ها یا اجزایی است که دارای میدان‌های مغناطیسی بوده یا به صورت یک هادی، برای عبور ولتاژ موقت (ناشی از صاعقه) تا رسیدن به یک هادی متصل به توربین عمل می‌کنند [۵-۲].

همچنین مانند هر تجهیز الکتریکی دیگر، سیستم زمین مناسبی برای تجهیزات الکتریکی توربین بادی نیاز است تا ایجاد یک مسیر با مقاومت الکتریکی پایین و عبور جریان‌های خطای این تجهیزات از آن بتوان تشخیص خطای داده و ضمن اینمی، خطای رفع کرد. برخلاف سیستم‌های زمین معمولی که اکثرأ به صورت فشرده هستند، سیستم‌های زمین برای مزارع بادی، بخش وسیعی را به خود اختصاص می‌دهند. هنگامی که صاعقه به توربین بادی برخورد می‌کند، موجب افزایش ولتاژ محلی می‌شود که به دنبال آن، آسیب‌هایی به تجهیزات و ادوات الکتریکی وارد می‌کند [۹-۱۶]. در این مقاله، به میراسازی اضافه ولتاژهای ناشی از صاعقه به کمک برق‌گیر پرداخته شده است.

سیستم درایو به دلیل سرعت پایین درایو مستقیم، تنها دو یاتاقان غلتشی با حرکت کند دارد. ژنراتور استوانه‌ای یک ژنراتور سنکرون سرعت پایین بدون اتصال مستقیم به شبکه است. از این‌رو ولتاژ خروجی و فرکانس با سرعت تغییر می‌کند. این مسئله بر نیاز به یک اینورتر با اتصال از طریق لینک dc جهت اتصال به شبکه برق دلالت دارد. ترانسفورماتور فشار ضعیف به فشار قوی در پایین توربین نصب می‌شود. توان نامی آن  $2000\text{ kVA}$  بوده و طراحی ویژه‌ای به منظور کنگاندن ابعاد کاهش یافته و شرایط کاری توربین دارد. اطمینان از تأمین مناسب توان شبکه از طریق توربین بادی، نیازمند پایش اتصالات شبکه می‌باشد که در شکل (۲) نشان داده شده است.



شکل (۲): پایش اتصال شبکه در توربین بادی [۱۲]



شکل (۳): پست LV/HV مجاور توربین بادی [۱۲]

شکل (۳) طرح الکتریکی یک پست فشار ضعیف به فشار قوی را در مجاورت توربین بادی نشان می‌دهد. ژنراتور توان بادی، یکسوکننده و مبدل به عنوان یک مجموعه واحد رفتار می‌کنند، به‌طور خاص یک ژنراتور سنکرون  $975$  ولت به قدر کافی در فرکانس  $50\text{ Hz}$  پایدار است [۱۲].

- یک ترانسفورماتور افزاینده  $975$  ولت به  $28$  کیلوولت داخل توربین بادی یا نسبتاً نزدیک به توربین بادی نصب

$$N_{upward} = a \times N \quad (0.8 \leq a \leq 1) \quad (1)$$

$$N_{downward} = b \times N = C_d \times N_g A_d 10^{-6} \quad (0 \leq b < 0.2) \quad (2)$$

ضرایب  $a$  و  $b$  مقادیر نسبی از برخورد های رو به بالا و رو به پایین هستند که شرط  $a+b=1$  را ارضاء می‌کنند. مجموع سالیانه برخورد هر دو نوع اصابات برابر است با  $N$  که تعداد برخورد های کل دو نوع اصابات در سال است و برای کشورهای متفاوت از رابطه (۳) به دست می‌آید:

$$N = 2.4 \times N_g H_e^{2.05} 10^{-5} \quad (3)$$

$N_g [\text{km}^{-2} \cdot \text{year}^{-1}]$  برابر متوسط تراکم سالیانه برخورد صاعقه با زمین است و می‌توان از رابطه (۴) به دست آورد:

$$N_g \approx p T_d^q \quad (4)$$

مقدار  $N_g$  را تخمین زد که  $T_d$  تعداد روزهای سال که صاعقه به وقوع پیوسته است و معمولاً مقادیر  $p = 0.04$  و  $q = 1/25$  هستند.  $H_e [m]$  ارتفاع مؤثر توربین بادی است که بسته به مقادیر ناهمواری‌های زمین باید محاسبه گردد.

می‌توان از رابطه (۱)  $H_{total} = k \cdot H_e$  که  $k \geq 1$  بیشترین ارتفاع توربین بادی تا سطح زمین است ( $H_{total} = H_{hub} + l_{blade}$ )، مقدار  $H_e$  را تخمین زد.  $C_d$  فاکتور طبیعی که در رنج  $C_d \leq 5$  قرار می‌گیرد، از تعداد برخورد های صاعقه در مناطق مستعد صاعقه (در دریاها) یا در زمستان حاصل می‌شود.  $A_d [\text{m}^2]$  متوسط منطقه برخورد صاعقه در زمین های صاف است که به صورت یک بخش دایره‌ای شکل به صورت رابطه (۵) محاسبه می‌شود:

$$A_d = \pi \times (3H_{total})^2 \quad (5)$$

بروز صاعقه و ویژگی‌های اصلی آن را می‌توان به دو روش زیر به دست آورد [۳]:

- جمع آوری اطلاعات به دست آمده از برخورد صاعقه در شرایط مختلف جوی و مکان‌های متفاوتی که توربین‌های بادی نصب شده‌اند.

- آزمایش کردن توربین بادی در آزمایشگاه فشارقوی به‌وسیله نمونه‌های استاندارد و بررسی نتایج.

### ۳. ساختار توربین بادی

در توربین بادی مورد مطالعه در این مقاله، هاب روتور و ژنراتور استوانه‌ای به عنوان یک ثابت بدون چرخ دنده به یکدیگر متصل می‌شوند و روتور بر روی یک محور ثابت نصب شده است.

## مکانیابی برقگیر در مزرعه بادی به کمک الگوریتم ژنتیک ۱۷

$m$  تعداد داده‌ها و  $V_i$  حداکثر اضافه ولتاژ در آزمایش نام است. با فرض توزیع نرمال اضافه ولتاژها می‌توانتابع توزیع تنش را به صورت رابطه (۸) بیان کرد:

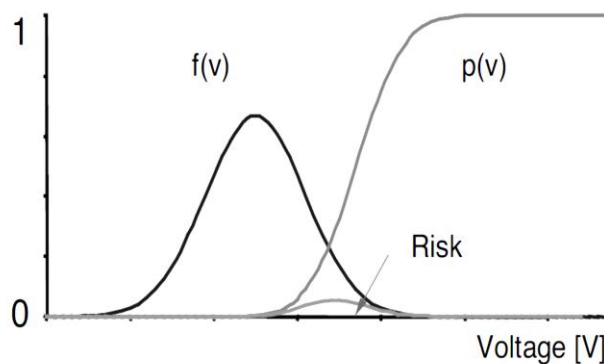
$$f(V) = \frac{1}{\sigma\sqrt{2\pi}} \exp\left[-\frac{(V-\mu)^2}{2\sigma^2}\right] \quad (8)$$

تابع استقامات عایقی به صورتتابع (۹) است:

$$p(v) = \frac{1}{\sigma\sqrt{2\pi}} \int_0^V \exp\left[-\frac{(V-\mu)^2}{2\sigma^2}\right] dV \quad (9)$$

درنتیجه ریسک عایقی در هر نقطه به صورت رابطه (۱۰) تعریف می‌شود:

$$R = \int_0^\infty f(V).p(V)dV \quad (10)$$



شکل (۵): منحنی ریسک تجهیزات شبکه [۱۴]

تابع استقامات عایقی و  $R(i)$  ریسک عایقی ایجاد شده در نقطه نام است و تابع توزیع استقامات عایقی با مقدار میانگین CFO و انحراف معیار استاندارد در هر نقطه مشخص می‌شود. منحنی هر تابع در شکل (۵) نشان داده شده است. CFO متناسب با شرایط جغرافیایی و تغییرات ارتفاع می‌تواند تغییر کند. بنابراین توزیع استقامات از نقطه‌ای به نقطه دیگر متفاوت خواهد بود.

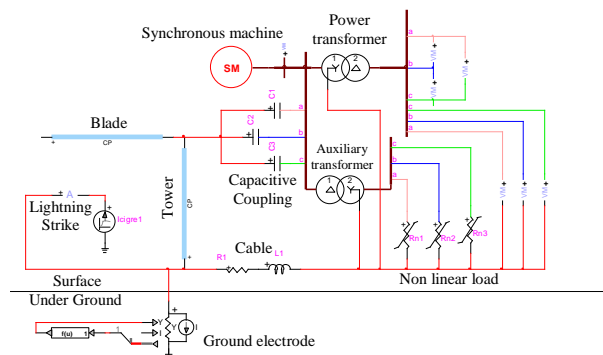
## ۵. ضرایب وزنی تابع ریسک عایقی

وزنی که به هر تجهیز شبکه داده می‌شود، وابسته به هزینه جایگزینی آن تجهیز است. به صورتی که تجهیزات با هزینه بالاتر، تحت حفاظت بیشتری نسبت به سایر تجهیزات قرار می‌گیرند. معیار اقتصادی به کار گرفته شده در این گزارش برای تجهیزات کلی مانند ترانسفورماتور،

می‌شود. علاوه بر این، برای اولیه و ثانویه آن زمین مشترک

فرض می‌شود.

- در مدل ترانسفورماتور، تنها انتقال الکترومغناطیسی در نظر گرفته شده و انتقال استاتیکی نادیده گرفته می‌شود.  
مدار توربین بادی به صورت ایزووله در نرم‌افزار EMTP به صورت شکل (۴) است. پره و برج و کابل‌های اتصال و سیستم زمین در این مدار قابل مشاهده است. این مدل یک توربین بادی است که در ادامه با کنار هم قرار گرفتن آن‌ها مزرعه بادی تشکیل شده و مطالعات روی آن انجام می‌شود.



شکل (۴): مدار توربین بادی در نرم‌افزار EMTP

## ۴. ریسک عایقی ناشی از اضافه ولتاژهای صاعقه

مشکل اول برای به دست آوردن توزیع آماری اضافه ولتاژهای ناشی از صاعقه در گره‌های شبکه، وابستگی آن‌ها به متغیرهای تصادفی مستقل است. این متغیرهای تصادفی از قبیل یک جریان، محل برخورد موج صاعقه و... هستند. در این بخش یک روش تقریبی برای حل این مشکل ارائه شده است.

با بررسی داده‌های آماری جمع‌آوری شده تابع چگالی احتمال اضافه ولتاژها در هر نقطه به دست می‌آید. نوع تابع بایستی با توجه به بهترین توزیع آماری که نسبت به داده‌های جمع‌آوری شده در هر نقطه برآش می‌شود، انتخاب گردد. پس از انتخاب نوع تابع، میانگین  $\mu$  و انحراف معیار  $\sigma$  در هر نقطه از روابط (۶) و (۷) قابل محاسبه است [۱۳]:

$$\mu = \frac{1}{m} \sum_{i=1}^m v_i \quad (6)$$

$$\sigma = \sqrt{\frac{1}{m-1} \sum_{i=1}^m (v_i - \mu)^2} \quad (7)$$

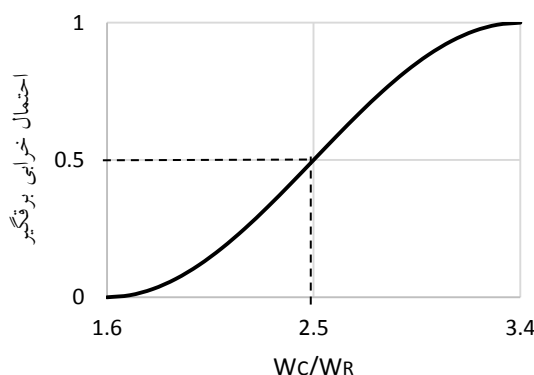
می‌افتد که تنش وارده بیشتر از استقامت تجهیز بوده باشد.  $E_s$  تنش وارده به سیستم و  $E_w$  استقامت تجهیز است. اگر  $f_s(S)$  و  $f_w(S)$  به ترتیبتابع چگالی احتمال متغیرهای تصادفی  $E_s$  و  $E_w$  بوده و  $F_s(S)$  و  $F_w(S)$  نیز توزیع فراوانی آنها باشد، در این صورت ریسک خرابی به صورت رابطه (۱۲) خواهد بود [۱۳]:

$$P_f = P(E_s > E_w) = \int_0^{\infty} f_s(s) F_w(s) ds \quad (12)$$

همچنین احتمال خرابی برقگیر را می‌توان با استفاده از توزیع تجمعی ویال تغیری زد. روابط (۱۳) و (۱۴) این احتمال را بیان می‌کند [۱۳]:

$$F_w(E_w) = 1 - 0.5^{(z/4+1)^5} \quad (13)$$

$$Z = \frac{E_c - \mu}{\sigma} = \frac{W_C/W_R - 2.5}{0.375} \quad (14)$$



شکل (۶): تابع احتمال خرابی برقگیر [۱۳]

$W_R$  ظرفیت نامی برقگیر است که به صورت  $\frac{kJ}{kV}$  ولتاژ نامی برقگیر بیان می‌شود. همچنین ظرفیت استقامت تجهیز در برابر تنش انرژی وارده برای احتمال خرابی ( $E_w$ )  $F_w(E_w)$  است. نمودار احتمال خرابی برقگیر در شکل (۶) نشان داده شده است.

## ۷. تابع هدف بهینه‌سازی

نقاط بهینه برای استقرار برقگیرها به گونه‌ای انتخاب می‌شوند که تابع هدف مسئله حداقل شود. تابع هدف مختلف برای مسئله قابل تعریف است. انتخاب نوع تابع هدف به راهبرد حفاظتی که توسط برق منطقه‌ای انتخاب می‌شود، بستگی دارد. اگر تنها اضافة ولتاژهای صاعقه در نظر گرفته شوند، برای حداقل کردن ریسک عایقی و خرابی برقگیر، تابع هدف با رابطه (۱۵) تعریف می‌شود:

کابل و فیوزها می‌باشد که نقش عمداتی در آسیب‌های اضافه ولتاژ صاعقه دارند. در جدول (۱) هزینه جایگزینی آنها برآورده شده است.

جدول (۱): هزینه جایگزینی تجهیزات [۱۴]

تجهیز	قيمت [\$]
کابل	۹۰۰
ترانسفورماتور	۹۰۰۰
برقگیر	۳۰۰
کنترل کننده‌ها	۴۵۰

از دیدگاه اقتصادی و آنچه در جدول (۱) آورده شده است، برای گره‌هایی که به ترانسفورماتور متصل‌اند، ضریب وزنی بیشتری در نظر گرفته می‌شود. کابل‌های اتصال در اولویت بعدی قرار می‌گیرند و در نهایت، دستگاه‌های تنظیم از ضریب وزنی کمتری استفاده خواهد شد. ترانسفورماتور که از اهمیت بیشتری برخوردار است، ضریب ۱ را به خود اختصاص می‌دهد. برای کابل‌ها که ۱۰٪ ارزصد قیمت ترانسفورماتور را دارند، ضریب وزنی ۱/۰ در نظر گرفته شده و برای دستگاه تنظیم با توجه به قیمت آن، ضریب وزنی ۰/۰۵ مناسب است. در نتیجه، تابع ریسک عایقی با احتساب ضرایب وزنی به صورت تابع (۱۱) در می‌آید [۱۴]:

$$R_G = \frac{\sum_{t=1}^n R_t + \sum_{c=1}^m R_c \times 0.1 + \sum_{a=1}^l R_a \times 0.05}{n \times 1 + m \times 0.1 + l \times 0.05} \quad (11)$$

ریسک عایقی کل شبکه  $R_G$  تابع ریسک عایقی گره متصل به ترانسفورماتور؛  $n$  تعداد ترانسفورماتور  $R_c$  تابع ریسک گره متصل به کابل؛  $m$  تعداد کابل‌ها  $R_a$  تابع ریسک عایقی گره متصل به دستگاه تنظیم؛  $l$  تعداد گره‌های متصل به دستگاه تنظیم

## ۶. ریسک خرابی برقگیر

انتخاب یک برقگیر با ظرفیت جذب انرژی مناسب به دلیل اضافه ولتاژ غیرخطی بسیار بالا که توسط صاعقه به وجود می‌آید و مشخصه V-I برقگیرها امر روشنی نیست. ارزیابی احتمال خرابی یک برقگیر به بعضی پارامترها نظیر مشخصه برقگیر، آرایش و شکل‌بندی سیستم که برقگیر در آن نصب می‌شود، نقطه برخورد ضریب صاعقه و داده‌های آماری پارامترهای صاعقه وابسته است. محاسبه احتمال خرابی برقگیر براساس مفهوم تنش-استقامت انجام می‌شود. در این حالت، شکست وقتی اتفاق

## مکان یابی بر قرگیر در مزرعه بادی به کمک الگوریتم ژنتیک ۱۹

تعدادی از جمعیت نسل قبل، نسل بعدی ساخته خواهد شد. باید توجه داشت که تعداد جمعیت و تعداد ترکیب در هر نسل، به گونه‌ای انتخاب شود که رسیدن به جواب در طی نسل‌های آزمون تضمین شود. با توجه به اینکه تعداد بر قرگیرهای مورد استفاده در مسئله ثابت است، عملگر جهش باید به دو صورت به الگوریتم اعمال شود. اگر تعداد یک در زنجیره کروموزومها با تعداد بر قرگیرها برابر نباشد، در آن صورت یک جهش اجباری به کروموزومها اعمال می‌شود تا تعدادی از صفرها در زنجیره به یک تبدیل شده و به این ترتیب، تعداد یک در زنجیره کروموزومها با تعداد بر قرگیرها برابر شود. در این وضعیت، ژن‌هایی که در هر کروموزوم تغییر وضعیت داده می‌شوند، به صورت تصادفی انتخاب می‌شوند. برای کروموزوم‌هایی که تعداد یک‌ها در زنجیره آن‌ها با تعداد بر قرگیرها برابر نیز برای جلوگیری از توقف روند همگرایی، عملگر جهش روی آن‌ها اعمال می‌شود. در این موقع، به طور معمول دو یا سه ژن که به صورت تصادفی انتخاب شده‌اند، دچار جهش می‌شوند.

با توجه به اینکه هدف مسئله، یافتن نقطه حداقل تابع ریسک است، استفاده از روش انتخاب برحسب رتبه مناسب است. گزینش براساس رتبه به این صورت انجام می‌شود که در ابتدا کروموزوم‌های موجود در نسل از بدترین کروموزوم تا بهترین کروموزوم رتبه‌بندی می‌شوند، به طوری که به بدترین کروموزوم، رتبه ۱، به کروموزوم بعدی رتبه ۲، ... و به بهترین کروموزوم، رتبه N نسبت داده می‌شود. سپس یک شاخص  $q$  برای هر کروموزوم که همان عدد رتبه آن کروموزوم است، در نظر گرفته می‌شود. با این فرض که مجموع برازنده‌های تمام کروموزوم‌های موجود در نسل S باشد، یک عدد به طور تصادفی در بازه [0,S] انتخاب می‌شود. اگر برای مقادیر  $q_{k-1}$ ،  $q_k$  و  $r$  رابطه (۱۸) برقرار باشد [۱۵]:

$$q_{k-1} < r < q_k \quad (18)$$

در آن صورت، کروموزوم k ام انتخاب خواهد شد. لذا کروموزوم‌های هر نسل ارزیابی شده و کروموزومی که کمترین مقدار را داراست برای ایجاد فرزندان در نسل بعدی مورد استفاده قرار می‌گیرد. کروموزوم والد دوم به طور تصادفی از نسل مورد نظر انتخاب می‌شود. در هر نسل بردار جوابی که حداقل مقدار تابع هدف را تولید کرده و کمترین مقدار مورد نظر ذخیره می‌شوند. بدین ترتیب می‌توان روند همگرایی الگوریتم را در طول نسل‌ها بررسی کرد. برای توقف الگوریتم یک مقدار حداکثری برای تعداد نسل‌ها قرار داده می‌شود. شرط دیگر توقف هم می‌تواند عدم تغییر کمینه در طول چندین نسل متوالی باشد.

$$\text{Min } F = \frac{\sum_{l=1}^n \left( K_{Ins} \left[ \frac{1}{\sum_{j=1}^k t_j} \times \sum_{i=1}^k t_i \cdot R_i \right] + K_{Arr} \left[ \frac{1}{m} \times \sum_{i=1}^m R_{Arr}(i) \right] \right)}{n} \quad (15)$$

تعداد بر قرگیرها،  $k$  تعداد نقاط کاندید است که برای حل مسئله در مزرعه بادی، مطابق با تعداد توربین‌هاست. ( $i$ )  $R_{Arr}$  احتمال خرابی بر قرگیر نام با توجه به محل استقرار آن،  $R_i$  ریسک عایقی در نقطه نام و  $t_i$  ضریب اهمیت نقطه کاندید است.  $K_{Ins}$  و  $K_{Arr}$  نیز ضرایبی هستند که توسط شرکت‌های برق منطقه‌ای تعیین می‌شوند و به ترتیب در صد قطعی ناشی از خرابی بر قرگیر و شکست عایقی در شبکه مورد نظر را نشان می‌دهند. در نهایت با توجه به اینکه در هر شیوه‌سازی، موج صاعقه به تمامی توربین‌ها اصابت می‌کند، تابع هدف مسئله به صورت میانگینی از کل توربین‌هاست.  $n$  تعداد توربین‌ها را نشان می‌دهد.

## ۸. بهینه‌سازی ژنتیک

برای بهینه‌سازی محل استقرار بر قرگیرها در شبکه، بایستی به این نکته توجه داشت که روش تحقیق در مواجهه با تنش‌های صاعقه است. برای بررسی ریسک عایقی ناشی از صاعقه، باید شبکه را به صورت گسترش بررسی کرد. از این‌رو انتخاب الگوریتم ژنتیک برای حل مسئله مناسب خواهد بود، زیرا الگوریتم ژنتیک می‌تواند در حل هر دو شبکه پیوسته و گسترش مورد استفاده قرار گیرد. پیاده‌سازی الگوریتم ژنتیک ساده بوده و سرعت بهینه‌سازی آن نیز بالاست. کدگذاری مسئله نیز با درنظرگرفتن مقادیر صفر و یک برای حضور بر قرگیر در هر گره، به سادگی قابل انجام است. برای استفاده از الگوریتم ژنتیک، ابتدا بایستی براساس قرار گرفتن بر قرگیرها در نقاط مختلف شبکه، کدگذاری باین‌ری انجام شود. برای این کار باید یک بردار مانند  $X$  به صورت رابطه (۱۶) تعریف شود [۱۵]:

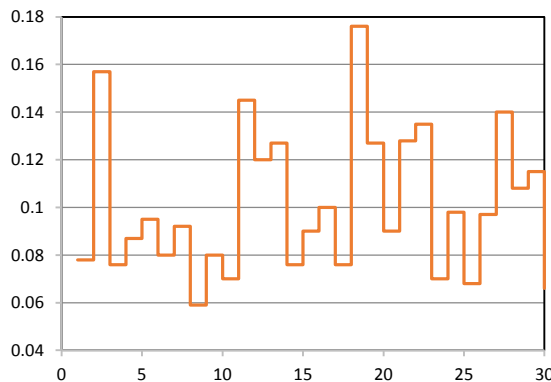
$$X = [x_1 \ x_2 \ \dots \ x_{A_n}] \quad (16)$$

$A_n$  تعداد ورودی‌ها یا تعداد نقاط کاندیدا برای استقرار بر قرگیرها و  $x_i$  متغیر حضور بر قرگیر در گره نام است که به صورت رابطه (۱۷) تعریف می‌شود:

$$x_i = \begin{cases} 1 & \text{در صورت استقرار بر قرگیر در نقطه } n \text{ ام} \\ 0 & \text{در صورت استقرار عدم بر قرگیر در نقطه } n \text{ ام} \end{cases} \quad (17)$$

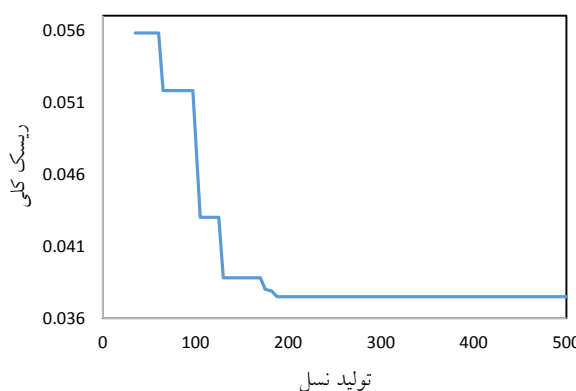
برای استفاده از الگوریتم ژنتیک ابتدا لازم است یک جمعیت اولیه ایجاد شود. سپس با انتخاب بهترین والدین، ایجاد فرزندان و مهاجرت

در شکل (۸)، مقادیر ریسک تابع هدف تعریف شده برای جایگشت‌های مختلف نشان داده شده است. تابع هدف از مقادیر وزنی تعریف شده محاسبه شده است. این ۳۰ حالت، جمعیت اولیه برای مسئله بهینه‌سازی را تشکیل می‌دهند و مقادیر پارامترهای الگوریتم به صورت پیش‌فرض در برنامه متلب (MATLAB) در نظر گرفته شده است. حالات مختلف به گونه‌ای انتخاب شده که در هر ردیف از مزرعه بادی، حداقل دو مکان بر قبّگیر موجود باشد.



شکل (۸): مقادیر ریسک کلی برای مکان‌های مختلف بر قبّگیر

مقادیر ریسک برای پیدا کردن نقطه حداقل در استقامت پایه ۱۵۰ kV و انحراف معیار مناسب با تجهیز از ۲ تا ۵ درصد برای موقعیت‌های مختلف قرارگیری بر قبّگیر محاسبه شده است. مقادیر ریسک محاسبه شده دارای مقادیر حداکثر ۱۷/۸۲ درصد و حداقل ۶/۰۱ درصد هستند. با توجه به اینکه در اکثر موقعیت‌ها ۳ بر قبّگیر در هر ردیف مزرعه بادی انتخاب شده، اختلاف میان حداقل مقدار و حداکثر آن زیاد و به مکان‌های نصب بسیار حساس است.



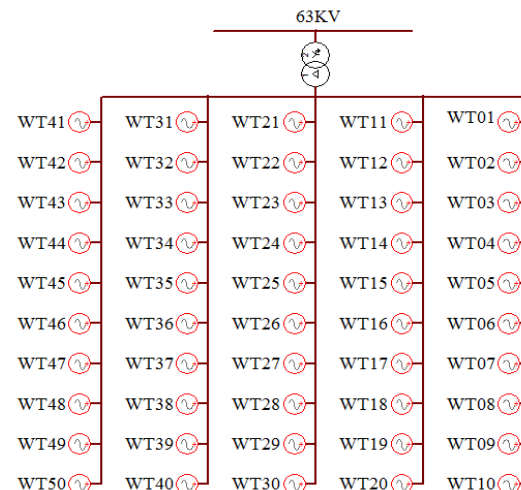
شکل (۹): روند همگرايی الگوريتم ژنتيک

برای بهینه‌سازی از الگوریتم ژنتیک استفاده شده است. روش ژنتیک با گرینش کروموزوم‌های والد براساس انتخاب رتبه و با مقادیر جمعیت‌های

## ۹. مزرعه بادی مورد مطالعه

مکان‌پایی بر قبّگیر روی مزرعه بادی با ۵۰ توربین بادی انجام شده و چیدمان آن‌ها به صورت ۵ سطون است که در هر سطون ۱۰ توربین قرار گرفته است. توان تولیدی هر توربین برابر ۶۶۰ kW است. ولتاژ خروجی در ثانیه‌ای ترانسفورماتور ۲۰ کیلوولت است. دیاگرام تکخطی مزرعه بادی به صورت شکل (۷) است. جزئیات بیشتر برای هر توربین در بخش ساختار توربین بادی نشان داده شد.

فاصله توربین‌های مجاور در هر سطون، ۸۰ متر و فاصله سطون‌ها با یکدیگر برابر ۲۰۰ متر است. نقطه نوترال سیستم زمین ترانسفورماتور به سیستم زمین پای هر توربین متصل می‌شود و تزریق صاعقه به پره توربین صورت می‌گیرد. در نهایت، مجموعه توربین‌ها به پست ۶۳ کیلوولتی متصل می‌شود.



شکل (۷): دیاگرام تکخطی مزرعه بادی

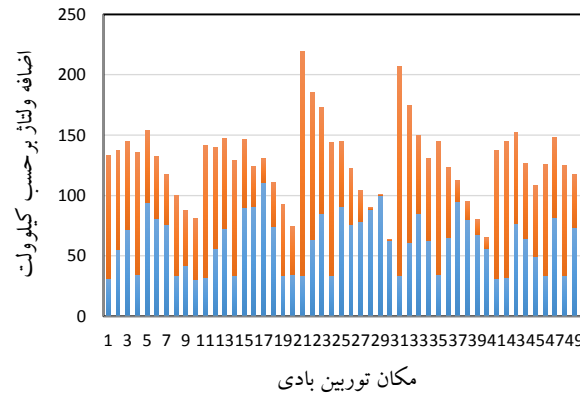
## ۱۰. نتایج شبیه‌سازی

تعداد نقاط کاندیدا برای استقرار برابر ۵۰ نقطه است که با توجه به اینکه اصابات صاعقه به پره توربین انجام می‌شود، نقاط کاندیدا برابر توربین‌های بادی می‌باشد. هدف از بهینه‌سازی، پیدا کردن محل بهینه ۱۵ عدد بر قبّگیر است که بایستی در نواحی مختلف مزرعه بادی قرار گیرند. بر قبّگیرها در هر سه فاز نصب می‌شوند. برای شروع باید چند گزینه مختلف جهت استقرار بر قبّگیر در بین نقاط کاندیدا مشخص شود. برای محاسبه تابع هدف از تابع ریسک وزن دار استفاده شده است. چون اهمیت تمام نقاط یکسان فرض شده است، ریسک کلی برابر میانگین مقادیر ریسک به دست آمده در نقاط مختلف مزرعه بادی است.

## ۲۱ مکان یابی بر قرگیر در مزرعه بادی به کمک الگوریتم ژنتیک

مسئله به صورت گستته است. پس از برخورد صاعقه با توربین بادی اضافه و لتاژهای ایجاد شده بدون حضور بر قرگیر در اطراف توربین بادی بادی قابل مشاهده است. این اضافه و لتاژها به علت نقاط زمین شده نوتروال ترانسفورماتورها کاهش پیدا می کند.

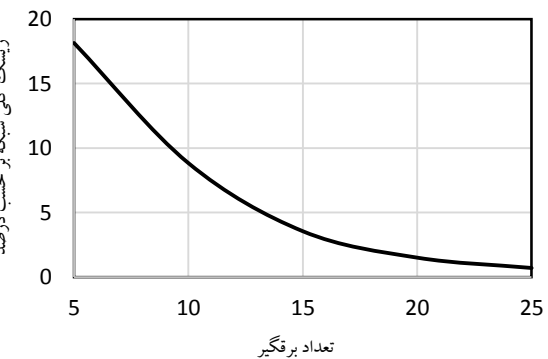
با اصابت صاعقه به تمام توربین ها مقدار حداقل اضافه و لتاژ ایجاد شده با نصب بر قرگیر و بدون نصب بر قرگیر در شکل (۱۱) نشان داده است. همان طور که در این شکل قابل مشاهده است، اضافه و لتاژ در مکان های اول ردیف بیشتر است. با حرکت به سمت انتهای ردیف که تمام ردیف ها به یکدیگر متصل می شوند، میزان پیک اضافه و لتاژ کمتر می شود. با نصب بر قرگیرها که از بهینه سازی تابع هدف حاصل شده اند، نرخ اضافه و لتاژها در محدوده قابل قبولی قرار گرفته شده است.



شکل (۱۱): پیک اضافه و لتاژهای توربین های بادی با بر قرگیر و بدون بر قرگیر

اولیه و تعداد فرزندان متفاوت در هر نسل پیاده سازی شده است. با در نظر گرفتن ریسک عایقی به عنوان تابع هدف، مقدار ریسک شبکه بدون حضور بر قرگیر در حدود ۳۰ درصد است. نمودار همگرایی برای الگوریتم ژنتیک با ۵۰۰ نسل و جمعیت اولیه ۳۰ مطابق شکل (۹) است.

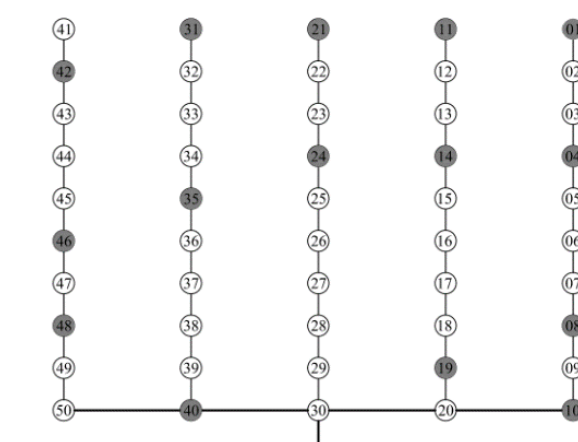
نتیجه حاصل شده از الگوریتم برابر ۳/۴۵ درصد است. برای رسیدن به این مقدار بر قرگیرها باید در مکان های ۱، ۱۰، ۸، ۴، ۱۱، ۱۴، ۲۱، ۳۱، ۴۶، ۴۰، ۴۲، ۳۵، ۲۲، ۴۸ جای بگیرند. الزاماً مکان انتخاب شده به مقاومت خاک پای برج مربوط نیست. با توجه به وزن دهنی تابع هدف و نحوه قرار گیری توربین در مزرعه بادی و مقاومت خاک این جایابی صورت می گیرد.



شکل (۱۰): منحنی مقدار ریسک بر حسب تعداد بر قرگیر مورد نیاز

انتخاب تعداد بر قرگیرها متناسب با مقدار قابل پذیرش ریسک کلی شبکه است. با تغییر تعداد بر قرگیرها ریسک ایجاد شده در شبکه نیز تغییر می کند. از آنجاکه در بعضی مواقع رسیدن به یک مقدار مشخص ریسک مورد توجه است، الگوریتم بهینه سازی برای تعداد مختلف بر قرگیر اجرا شده و محل بهینه متناظر به دست می آید. شکل (۱۰) حداقل ریسک شبکه را متناسب با تعداد مختلف دستگاه های بر قرگیر نشان می دهد. با کمک این منحنی، تعداد بر قرگیر لازم برای رسیدن به یک مقدار مشخص ریسک قابل محاسبه است. در این مسئله برای مطالعه موردی، تعداد ۱۵ عدد بر قرگیر به منظور ریسک عایقی کمتر از ۵ درصد لحاظ شده است. برای بهینه سازی، توابع هدف متفاوتی به کار گرفته می شود. با تغییر در نوع تابع و تعیین در پارامترهای اولیه، مسئله مکان بهینه بر قرگیرها نیز متفاوت خواهد بود. در این مسئله مقدار ضریب ریسک عایقی برابر  $K_{Ins} = 0/9$  و ضریب خرابی بر قرگیر  $K_{An} = 0/1$  در نظر گرفته شده است.

صاعقه به توربین بادی با احتمال بیش از ۹۸ درصد به پرۀ توربین برخورد می کند. از لحاظ آماری در مزارع بادی، احتمال برخورد صاعقه به توربین ها برابر با یکدیگر است. پس نقاط برخورد صاعقه برای حل این



شکل (۱۲): مکان قرار گیری بر قرگیرها در مزرعه بادی

مکان قرار گیری بر قرگیرها در مزرعه بادی به صورت شماتیک در شکل (۱۲) نشان داده شده است. دایره ها نشان توربین بادی و دایره های تیره نشانه نصب بر قرگیر روی آن توربین است.

## ۱۲. نتیجه گیری

تابع هدف مسئله براساس ریسک عایقی برای همه تجهیزات و نرخ خرابی بر قبّل تعریف شده است. مکان‌یابی بر قبّل‌ها از طریق الگوریتم ژنتیک محقق می‌شود. با توجه به یکسان بودن احتمال برخورد صاعقه با توربین‌ها موج صاعقه به تمامی توربین‌ها اصابت می‌کند. تعریف تابع هدف با وزن دهنی روی تجهیزات شروع شده و قیود ریسک عایقی و خرابی بر قبّل مقدار نهایی تابع را مشخص می‌کند. نقاط کاندیدا برای نصب بر قبّل خروجی ترانسفورماتور توربین‌های بادی هستند و با اصابت صاعقه به هر توربین تابع هدف محاسبه و مقدار میانگین آن حساب می‌شود. تعداد ۱۵ بر قبّل برای بهینه‌سازی انتخاب به کمینه‌سازی تابع هدف پرداخته شده است. عوامل تأثیرگذار برای مکان‌یابی بر قبّل می‌توان به محل توربین بادی که سر خط یا در وسط خط باشد، همچنین به مقاومت پایی برج و میزان وزن دهنی به تجهیزات نام برد. مقدار نهایی تابع هدف مسئله برابر با ۳/۴۵ است. برای رسیدن به مقادیر تابع ریسک کمتر، نیاز به بر قبّل بیشتری است.

## ۱۱. ریسک خرابی بر قبّل

درصد خرابی بر قبّل که به عنوان یک قید مسئله است، برای مکان‌های بهینه‌سازی شده به صورت جدول (۲) است. درصد خرابی بر قبّل برای محل‌های نصب شده بسیار پایین است و علت آن مقاومت نسبتاً پایین سیستم زمین مجموعه توربین بادی است. عامل تأثیرگذار برای بهینه‌سازی ریسک عایقی است.

جدول (۲): ریسک خرابی بر قبّل برای مکان بهینه شده

شماره توربین	درصد خرابی بر قبّل	شماره توربین	درصد خرابی بر قبّل	شماره توربین	درصد خرابی بر قبّل	شماره توربین
۰/۰۳۱۹	۳۵	۰/۰۱۷	۱۴	۰/۴۲۳۷	۱	
۰/۰۱۹۹	۴۰	۰/۰۲۷۸	۱۹	۰/۱۳۱۹	۴	
۰/۱۰۹۰	۴۲	۰/۱۲۵۶	۲۱	۰/۰۵۳	۸	
۰/۰۳۸۶	۴۶	۰/۰۲۱۱	۲۴	۰/۰۷۷۹	۱۰	
۰/۰۲۷۷	۴۸	۰/۰۳۰۵	۳۱	۰/۰۱۲	۱۱	

## مراجع

- [1] IEC International Standard 61024-1-2, IEC, "Protection of Structures Against Lightning Part 1-2: General Principles - Guide B - Design, Installation," 1998.
- [2] Peesapati. V., Cotton. I., Sorensen T., Krogh T., Kokkinos N., "Lightning Protection of Wind Turbines-A Comparison of Measured Data with Required Protection Levels," in Renewable Power Generatio, 2011.
- [3] Branko M., Radićević , Milan S. ,Savić, Senior , "Experimental Research on the Influence of Wind Turbine Blade Rotation on the Characteristics of Atmospheric Discharges," IEEE Transactions on Energy Conversion, Vol. 26, December 2011.
- [4] Glushakov, Bruce, "Effective Lightning Protection For Wind Turbine Generators," IEEE Transactions on Energy Conversion, Vol. 22, March 2007.
- [5] Lorentzon M.I., Hatziyargyriou N.D. and Papadias B.C., "Analysis of Wind Turbine Grounding System," 10 th Mediterranean Electro Technical Conference, Vol. 3, no. Univ. of Athens, Greece, pp. 936-941, 2000.
- [6] Vidyadhar P. and Cotton I., "Lightning Protection of Wind Turbines – A Comparison of Real Lightning Strike Data and Finite Element Lightning Attachment Analysis", in Sustainable Power Generation and Supply, 2009.
- [7] Elya B., Joffe, Kai-Sang L., "Grounds for Grounding: A Circuit to System Handbook", Wiley-IEEE Press, 2010.
- [8] Lorentzou MI, Hatziyargyriou ND, Papadias BC, "Time domain analysis of grounding electrodes impulse response," IEEE Transactions on Power Delivery, Vol. 2:517e24., 2003.
- [9] Reynaldo Z., Agus P., "The Use of Wind Turbine Structure for Lightning Protection System," in International Conference on Electrical Engineering and Informatics, Bandung, Indonesia, 17-19 July 2011.
- [10] IEC International Standard 62305-1, "Protection against lightning- Part1: General Principles," 2006.
- [11] Cotton, Vidyadhar P. and Ian, "Lightning Protection of Wind Turbines – A Comparison of Real Lightning Strike Data And Finite Element Lightning Attachment Analysis," in Sustainable Power Generation and Supply, 2009.
- [12] Rodrigues R.B., Mendes V.M.F., Catalão J.P.S., "Indirect Effects of Lightning on Wind Turbines using EMTP-RV," in Proceedings of the 2011 International Conference on Power Engineering, Málaga, Spain, 2011.
- [13] Hileman A.R., "Insulation Coordination for Power Systems", Newyork: Marcel Dekker Inc, 1999.

۲۳ مکان یابی برق‌گیر در مزرعه بادی به کمک الگوریتم ژنتیک

- [14] Fernandez A. L., Bogarra Rodriguez S., Gotes A. G., "Optimization of Surge Arrester's Location," IEEE Trans. PWRD, Vol. 19, pp. 145-150, January 2004.
- [15] Goldberg D. E., "Genetic Algorithms in Search, Optimization and Machine Learning," in MA.- Addison, Wesley, 1989.